

## SSNV209 – Interface en contact frottant avec X-FEM

---

### Résumé :

Ce problème correspond à une analyse quasi-statique d'un problème de mécanique avec contact et frottement. Une plaque rectangulaire est soumise à des forces de pression horizontales et verticales et est comprimée sur un plan où elle subit des forces de contact et de frottement.

Il s'agit d'un cas équivalent au cas-test ssnv128 [V6.04.128], mais résolu avec la méthode XFEM.

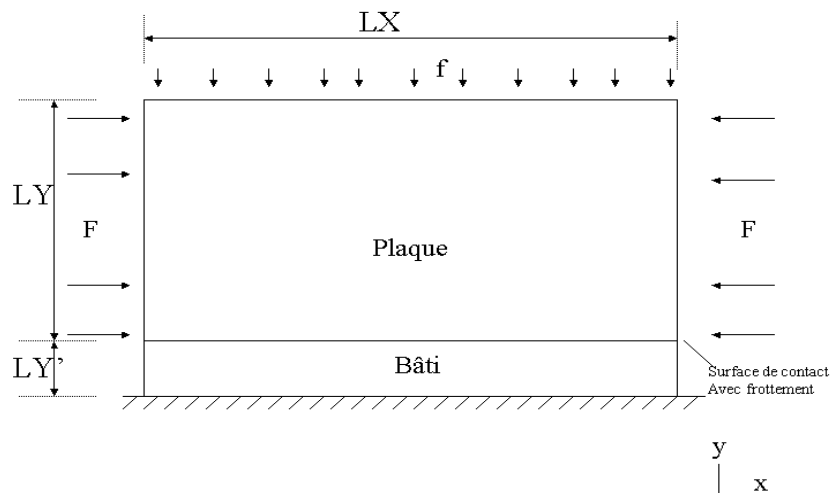
Ce test met en jeu différents maillages, en 2D et 3D, dans le cadre de calculs X-FEM [R7.02.12]

Il comporte 14 modélisations et permet de tester:

- les modélisations 2D (QUAD4, TRIA3, QUAD8, TRIA6) et 3D (HEXA8, TETRA4),
- une position de fissure à l'interface ou au milieu des éléments,
- l'opérande XFEM du mot clé CONTACT
- l'intégration par sous-éléments (issus de XFEM) d'une grandeur dépendant d'une variable de commande
- les différents schémas d'intégration pour les termes de contact (NEUD, SIMPSON, NCOTES)
- les formulations avec lagranges sur les arêtes et celles avec lagranges sur les nœuds (du maillage initial)
- les paramètres de la formulation généralisée (coefficients de régularisation et de stabilisation pour le contact et pour le frottement),
- le calcul simultané des zones décollées, en contact glissant, et en contact adhérent
- le post-traitement, notamment le calcul de la réaction normale  $RN$ ,
- l'algorithme de satisfaction de la condition  $LBB$  aux transitions décollée/contact et glissant/adhérent,
- la méthode de lagrangien augmenté et la méthode pénalisée pour le traitement du contact-frottement.

## 1 Problème de référence en 2D

### 1.1 Géométrie



La structure est un rectangle constitué de deux plaques de même matériau, séparées par une interface.

Les dimensions de la plaque, sur laquelle les pressions sont appliquées, sont :

$$LX = 80\text{mm} , LY = 40\text{mm}$$

La seconde plaque, assimilée à un bâti, a les dimensions suivantes :

$$LX = 80\text{mm} , LY' = 10\text{mm}$$

La position des points de référence sous la surface de contact ( $mm$ ) est :

	$x$	$y$
$A$	0	0
$B$	1.25	0
$C$	5.	0
$D$	7.5	0
$E$	11.25	0

### 1.2 Propriétés de matériaux

#### Plaque et bâti:

Coefficient de Poisson : 0.2

Module d'Young :  $1.3 \cdot 10^{11} \text{N/m}^2$

Le coefficient de frottement sous le plan est  $\mu = 1.0$  .

## 1.3 Conditions aux limites et chargements

Rappelons que le déplacement sous X-FEM est la somme d'un déplacement continu et d'un déplacement discontinu. Dans le cas d'une interface, sans fond de fissure, l'approximation du déplacement s'écrit de la façon suivante :

$$u^h(x) = \sum_{i \in N_n(x)} a_i \Phi_i(x) - \sum_{i \in \Omega^+(x) \cap K} b_i \Phi_i(x) 2\chi_-(x) + \sum_{i \in \Omega^-(x) \cap K} b_i \Phi_i(x) 2\chi_+(x)$$

Où:

$a_i$  et  $b_i$  sont les degrés de liberté de déplacement au nœud  $i$

$\Phi_i$  les fonctions de forme associées au nœud  $i$ .

$\chi_{\pm}(x)$  les fonctions caractéristiques des côtés + et - de la fissure,

$\Omega^{\pm}(x)$  les demi-espaces + et - déterminés par la fissure,

$N_n(x)$  est l'ensemble des nœuds dont le support contient le point  $x$ ,

$K$  est l'ensemble des nœuds dont le support est entièrement coupé par la fissure

Pour plus de détails, se référer à la documentation de référence X-FEM [R7.02.12].

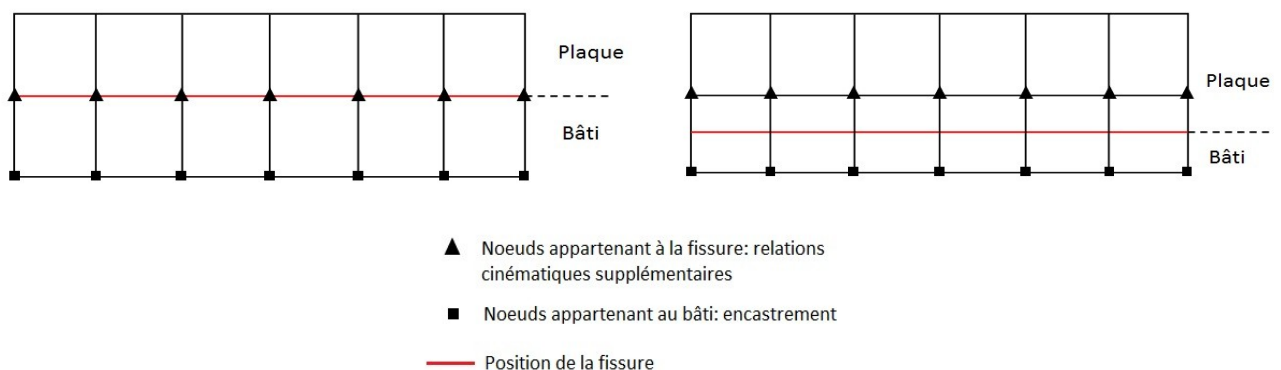
Le bâti rigide, de même largeur que la plaque, est bloqué entièrement par un encastrement. Les DDL de déplacement des nœuds du bâti selon X et Y sont mis à 0 :

$$DX_{NBATI} = 0 \text{ et } DY_{NBATI} = 0$$

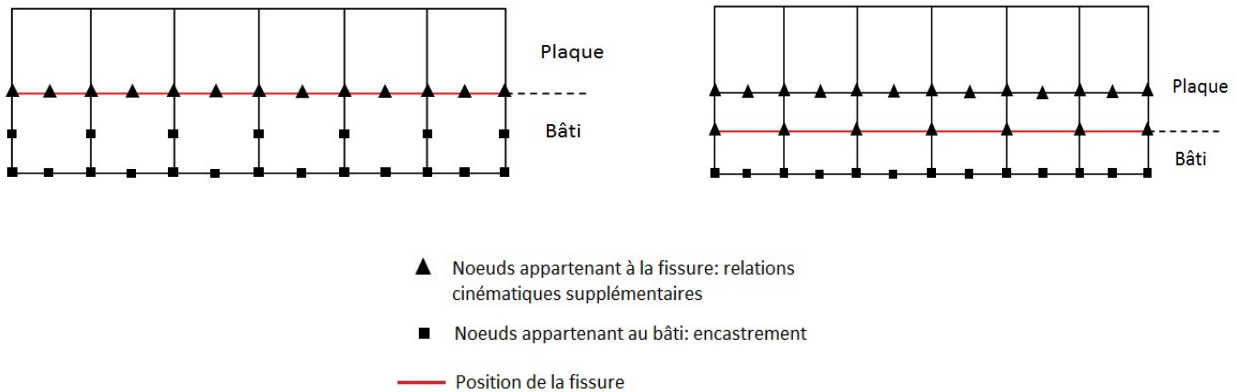
Des équations supplémentaires sont écrites sur les DDL des nœuds des éléments coupés par la fissure, afin que le déplacement soit nul partout sur la partie inférieure de ces éléments correspondant au bâti. Très concrètement les relations cinématiques qui imposent qu'en tout point bâti sous l'interface le déplacement est bien nul sont les suivantes :

$$DX_{NPLAQUE} - 2HX_{NPLAQUE} = 0 \quad DY_{NPLAQUE} - 2HY_{NPLAQUE} = 0$$

La figure suivante montre les nœuds qui portent ces relations cinématiques selon le type de maillage : conforme (gauche) et non conforme (droite)



Pour un maillage **quadratique** voici la stratégie à suivre : maillage conforme (gauche) et non conforme (droite, avec fissure au milieu des éléments)



Les nœuds milieu appartiennent à la partie supérieure de l'interface quand l'interface passe par ces derniers. Si tout point du bâti a un déplacement nul il en résulte qu'aux nœuds milieu on a aussi la relation suivante :

$$DX_{NMILIEU} - 2HX_{NMILIEU} = 0 \quad DY_{NMILIEU} - 2HY_{NMILIEU} = 0$$

La plaque est soumise à deux pressions réparties :

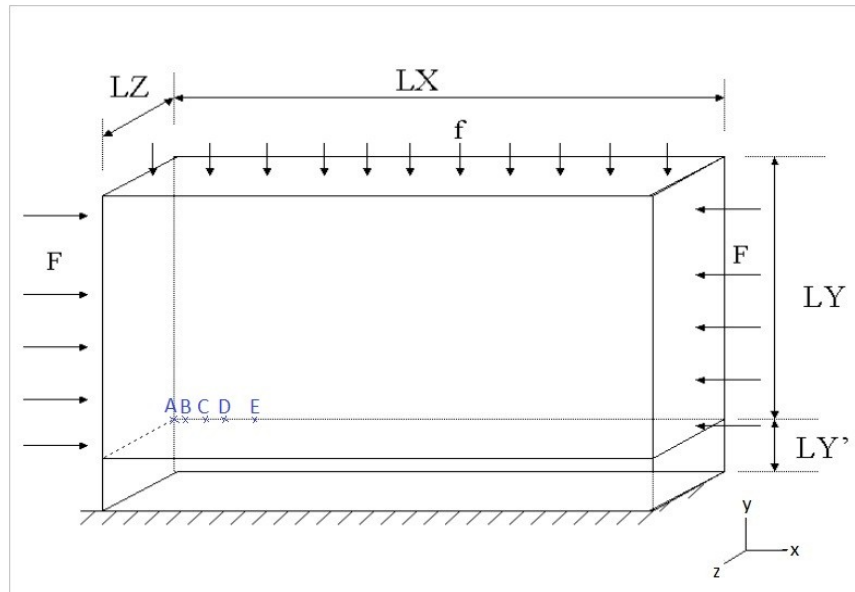
- une pression verticale agissant sur la face du dessus :  $f = -5 \text{ daN/mm}^2$ ,
- une pression horizontale agissant sur les faces latérales, pour  $y > 0$ ,  $F = \pm 15 \text{ daN/mm}^2$  (suivant le principe de compression)

## 2 Problème de référence en 3D

### 2.1 Géométrie

On prend en compte deux géométries :

Le première est obtenue par extrusion de la géométrie du problème 2D : la structure est alors un parallélépipède rectangle.



Les dimensions de la partie supérieure sur laquelle les pressions sont appliquées, sont fixes :  
 $LX = 80\text{mm}$  ,  $LY = 40\text{mm}$  et  $LZ = 1\text{mm}$

La partie inférieure assimilée à un bâti, a les dimensions suivantes :  
 $LX = 80\text{mm}$  ,  $LY' = 10\text{mm}$  et  $LZ = 1\text{mm}$

La position des points de référence sous la surface de contact (mm) est :

	$x$	$y$	$z$
<i>A</i>	0	0	0
<i>B</i>	1.25	0	0
<i>C</i>	5.	0	0
<i>D</i>	7.5	0	0
<i>E</i>	11.25	0	0

### 2.2 Propriétés de matériaux

#### Plaque et bâti:

Coefficient de Poisson : 0.2

Module d'Young :  $1.3 \cdot 10^{11} \text{N/m}^2$

Le coefficient de frottement sous le plan est  $\mu = 1.0$  .

## 2.3 Conditions aux limites et chargements

Le bâti rigide, de même largeur que la plaque, est bloqué entièrement par un encastrement. Les DDL de déplacement des nœuds du bâti selon X et Y sont mis à 0 :

$$DX_{NBATI}=0, DY_{NBATI}=0 \text{ et } DZ_{NBATI}=0$$

Des équations supplémentaires sont écrites sur les DDL des nœuds des éléments coupés par la fissure, afin que le déplacement soit nul partout sur la partie inférieure de ces éléments correspondant au bâti. Très concrètement les relations cinématiques qui imposent qu'en tout point bâti sous l'interface le déplacement est bien nul sont les suivantes :

$$DX_{NPLAQUE} - 2HX_{NPLAQUE} = 0, DY_{NPLAQUE} - 2HY_{NPLAQUE} = 0 \text{ et } DZ_{NPLAQUE} - 2HZ_{NPLAQUE} = 0$$

Les groupes de nœuds qui portent des équations supplémentaires (nœuds milieu par exemple) sont identiques à ceux du cas 2D expliqué en §1.3.

La plaque est soumise à deux pressions réparties :

- une pression verticale agissant sur la face du dessus :  $f = -5 \text{ daN/mm}^2$ ,
- une horizontale agissant sur les faces latérales, pour  $y > 0$ ,  $F = \pm 15 \text{ daN/mm}^2$  (suivant le principe de compression).

## 3 Solution de référence

---

### 3.1 Méthode de calcul utilisée pour la solution de référence

La solution de référence provient des résultats obtenus par la modélisation A ( 2D ) et F ( 3D ), à savoir une modélisation D\_PLAN en 2D et 3D en 3D sous le mot clé FORMULATION='CONTINUE' de l'opérateur DEFI\_CONTACT.

### 3.2 Résultats de référence

Déplacements tangentiels (selon  $X$ ) aux points  $A B C D E$  de la surface de contact.  
Réaction normale au point milieu.

## 4 Modélisation A

---

### 4.1 Caractéristiques de la modélisation

Modélisation : `D_PLAN` pour tester l'opérande '`CONTINUE`' du mot-clé `FORMULATION` sous l'opérateur `DEFI_CONTACT` pour des éléments `SEG2` .

La plaque et le bâti sont maillés avec des éléments `QUAD4`.

### 4.2 Caractéristiques du maillage

Nombre de nœuds : 975

Nombre de mailles et types : 832 `QUAD4` pour la plaque et le bâti.

### 4.3 Grandeurs testées et résultats

<b>Identification</b>	<b>Aster</b>
<i>RN</i> au point milieu	1.04864 E+5
<i>DX</i> au point <i>A</i>	2.84595 E-5
<i>DX</i> au point <i>B</i>	2.70793 E-5
<i>DX</i> au point <i>C</i>	2.27403 E-5
<i>DX</i> au point <i>D</i>	1.97271 E-5
<i>DX</i> au point <i>E</i>	1.53641 E-5

### 4.4 Remarque

Ces résultats servent de référence pour les quatre modélisations qui suivent.



## 5 Modélisation B

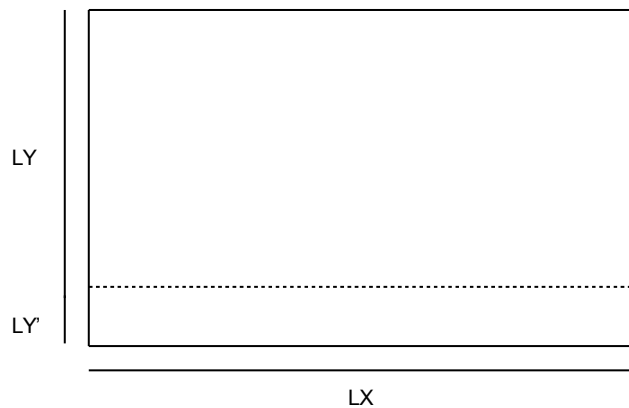
### 5.1 Caractéristiques de la modélisation

Modélisation : D\_PLAN pour tester l'opérande 'XFEM' du mot-clé FORMULATION sous l'opérateur DEFI\_CONTACT pour des éléments SEG2 .

La structure est un rectangle sain, dans lequel une fissure sera introduite directement dans le fichier de commande à l'aide de l'opérateur DEFI\_FISS\_XFEM [U4.82.08]. La fissure est présente à une distance  $LY = 40\text{ mm}$  du bord supérieur de la plaque.

Le fond de fissure est situé en dehors de la structure, ce qui permet une séparation totale. Cette modélisation est telle que la fissure se situe à l'interface des éléments.

La plaque et le bâti sont maillés avec des éléments QUAD4  $64 \times 25$  .



Les dimensions sont les suivantes :

**Plaque :**

$LX = 80\text{ mm}$  et  $LY = 40\text{ mm}$

**Bâti:**

$LX = 80\text{ mm}$  et  $LY' = 10\text{ mm}$

### 5.2 Caractéristiques du maillage

Nombre de nœuds : 1690

Nombre de mailles et types : 1600 QUAD4 pour la plaque et le bâti et 178 SEG2 pour les bords.

### 5.3 Grandeurs testées et résultats

Identification	Référence	Tolérance (%)
RN au point milieu	1.04864 E+5	0.1
DX au point A	2.84595 E-5	2,0
DX au point B	2.70793 E-5	2,0
DX au point C	2.27403 E-5	2,0
DX au point D	1.97271 E-5	2,0
DX au point E	1.53641 E-5	2,0



## 6 Modélisation C

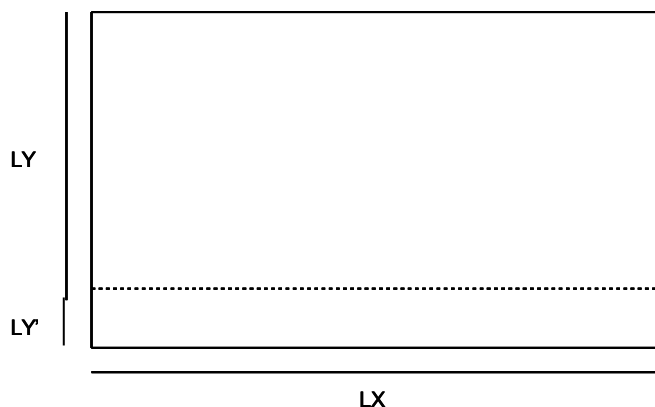
### 6.1 Caractéristiques de la modélisation

Modélisation : D\_PLAN pour tester l'opérande 'XFEM' du mot-clé FORMULATION sous l'opérateur DEFI\_CONTACT pour des éléments SEG2 .

La structure est un rectangle sain, dans lequel une fissure sera introduite directement dans le fichier de commande à l'aide de l'opérateur DEFI\_FISS\_XFEM [U4.82.08]. La fissure est présente à une distance  $LY = 40\text{ mm}$  du bord supérieur de la plaque.

Le fond de fissure est situé en dehors de la structure, ce qui permet une séparation totale. Cette modélisation est telle que la fissure se situe au milieu des éléments.

La condition de bâti rigide est introduite de la façon définie au paragraphe §1.3.



Les dimensions sont les suivantes :

**Plaque :**

$$LX = 80\text{ mm} \text{ et } LY = 40\text{ mm}$$

**Bâti:**

$$LX = 80\text{ mm} \text{ et } LY' = \frac{3}{325}\text{ mm}$$

### 6.2 Caractéristiques du maillage

Nombre de nœuds : 1625

Nombre de mailles et types : 1536 QUAD4 pour la plaque et le bâti et 176 SEG2 pour les bords.

### 6.3 Grandeurs testées et résultats

Identification	Référence	Tolérance (%)
$DX$ au point <i>A</i>	2.84595 E-5	2,0
$DX$ au point <i>B</i>	2.70793 E-5	2,0
$DX$ au point <i>C</i>	2.27403 E-5	2,0
$DX$ au point <i>D</i>	1.97271 E-5	2,0
$DX$ au point <i>E</i>	1.53641 E-5	2,0



## 7 Modélisation D

### 7.1 Caractéristiques de la modélisation

Modélisation : D\_PLAN pour tester l'opérande 'XFEM' du mot-clé FORMULATION sous l'opérateur DEFI\_CONTACT pour des éléments SEG2 .

La structure est un rectangle, dans lequel une fissure sera introduite directement dans le fichier de commande à l'aide de l'opérateur DEFI\_FISS\_XFEM [U4.82.08]. La fissure est présente à une distance  $LY = 40\text{mm}$  du bord supérieur de la plaque.

Le fond de fissure est situé en dehors de la structure, ce qui permet une séparation totale. Cette modélisation est telle que la fissure se situe à l'interface des éléments.

Les dimensions sont les suivantes :

**Plaque :**

$LX = 80\text{ mm}$  et  $LY = 40\text{mm}$

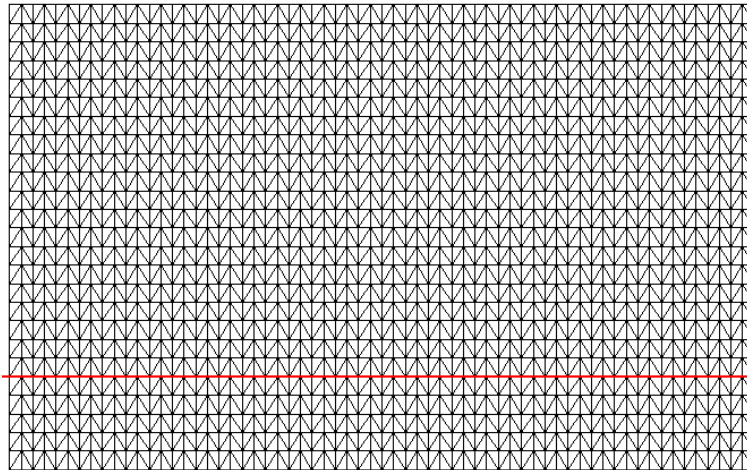
**Bâti:**

$LX = 80\text{ mm}$  et  $LY' = 10\text{mm}$

### 7.2 Caractéristiques du maillage

Nombre de nœuds : 1690

Nombre de mailles et types : 3200 TRIA3 pour la plaque et le bâti et 178 SEG2 pour les bords.



### 7.3 Grandeurs testées et résultats

Identification	Référence	Tolérance (%)
RN au point milieu	1.04864 E+5	10.0
DX au point A	2.84595 E-5	1.0
DX au point B	2.70793 E-5	1.0
DX au point C	2.27403 E-5	1.0
DX au point D	1.97271 E-5	1.0
DX au point E	1.53641 E-5	1.0

## 7.4 Remarques

Dans ce cas des oscillations du coefficient de Lagrange pour la pression apparaissent. Le point sur lequel la réaction  $R_N$  est comparée à la référence est un point « bas » dans l'oscillation. Les points voisins ont une erreur d'environ  $+8\%$ .

Notons que l'on peut vérifier en diminuant le pas du maillage que la condition  $LBB$  est respectée : les oscillations diminuent en amplitude.

## 8 Modélisation E

### 8.1 Caractéristiques de la modélisation

Modélisation : D\_PLAN pour tester l'opérande 'XFEM' du mot-clé FORMULATION sous l'opérateur DEFI\_CONTACT pour des éléments SEG2 .

La structure est un rectangle sain, dans lequel une fissure sera introduite directement dans le fichier de commande à l'aide de l'opérateur DEFI\_FISS\_XFEM [U4.82.08]. La fissure est présente à une distance  $LY = 40\text{mm}$  du bord supérieur de la plaque.

Le fond de fissure est situé en dehors de la structure, ce qui permet une séparation totale. Cette modélisation est telle que la fissure se situe au milieu des éléments.

Les dimensions sont les suivantes :

**Plaque :**

$$LX = 80\text{ mm} \text{ et } LY = 40\text{mm}$$

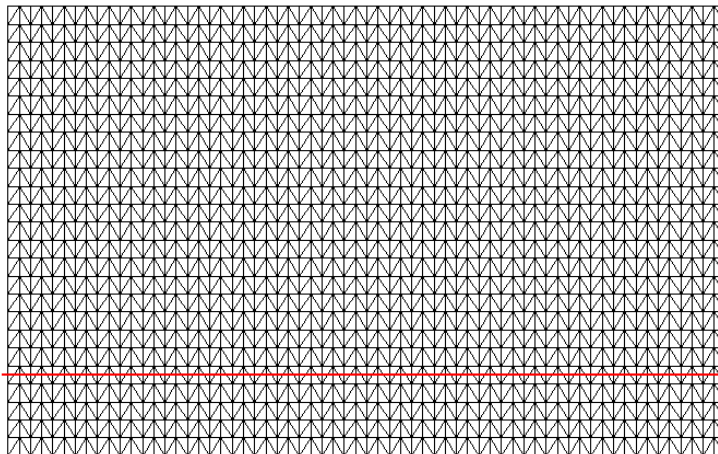
**Bâti:**

$$LX = 80\text{ mm} \text{ et } LY' = \frac{3}{325}\text{mm}$$

### 8.2 Caractéristiques du maillage

Nombre de nœuds : 1625

Nombre de mailles et types : 3072 TRIA3 pour la plaque et le bâti et 176 SEG2 pour les bords.



### 8.3 Grandeurs testées et résultats

Dans ce test, on valide le contact XFEM pour une fissure non-coïncidente avec le maillage.

Identification	Référence	Tolérance (%)
RN au point milieu	1.04864 E+5	5.0
DX au point A	2.84595 E-5	1.0
DX au point B	2.70793 E-5	1.0
DX au point C	2.27403 E-5	1.0
DX au point D	1.97271 E-5	1.0
DX au point E	1.53641 E-5	1.0

## 9 Modélisation F

### 9.1 Caractéristiques de la modélisation

**Modélisation : 3D pour tester l'opérande 'CONTINUE' du mot-clé FORMULATION sous l'opérateur DEFI\_CONTACT pour des éléments HEXA8 .**

La géométrie, les conditions aux limites et les chargements sont ceux du problème de référence 3D décrit paragraphe §2 'Problème de référence en 3D'.

La plaque et le bâti sont maillés avec des éléments HEXA8.

Le blocage des mouvements de corps rigide se fait en bloquant le déplacement suivant l'axe  $Z$ , soit  $DZ$  pour les 4 nœuds aux coins de la face supérieure. Il faut bloquer ces modes pour la première itération de contact, au cours de laquelle le frottement n'est pas activé. Ensuite, le frottement empêche ces mouvements.

Ce cas sert de référence pour les cas 3D XFEM suivants.

### 9.2 Caractéristiques du maillage

Nombre de nœuds : 1950

Nombre de mailles et types : 832 HEXA8 pour la plaque et le bâti.  
1108 QUAD4 pour les éléments de bord.

### 9.3 Grandeurs testées et résultats

Identification	Aster
$DX$ au point $A$	3.06970 E-5
$DX$ au point $B$	2.92588 E-5
$DX$ au point $C$	2.47360 E-5
$DX$ au point $D$	2.15871 E-5
$DX$ au point $E$	1.70045 E-5

### 9.4 Remarques

Pour les calculs en 3D, les conditions aux limites  $DZ=0$  (pour se ramener à un problème 2D) ne sont pas respectées pour éviter une allocation de mémoire trop importante. On en impose un minimum pour bloquer les mouvements de corps rigide.

Ces résultats servent de références pour les deux modélisations suivantes.



## 10 Modélisation G

### 10.1 Caractéristiques de la modélisation

Modélisation : 3D pour tester l'opérande 'XFEM' du mot-clé FORMULATION sous l'opérateur DEFI\_CONTACT pour des éléments HEXA8 .

La géométrie, les conditions aux limites et les chargements sont ceux du problème de référence 3D décrit paragraphe §2 'Problème de référence en 3D' .

### 10.2 Géométrie

La structure est un parallélépipède sain, dans lequel une fissure sera introduite directement dans le fichier de commande à l'aide de l'opérateur DEFI\_FISS\_XFEM [U4.82.08]. La fissure est présente à une distance  $LY = 40\text{mm}$  du bord supérieur de la plaque.

Le fond de fissure est situé en dehors de la structure, ce qui permet une séparation totale. Cette modélisation est telle que la fissure se situe à l'interface des éléments.

Les dimensions sont les suivantes :

**Plaque :**

$LX = 80\text{mm}$  ,  $LY = 40\text{mm}$  et  $LZ = 1\text{mm}$

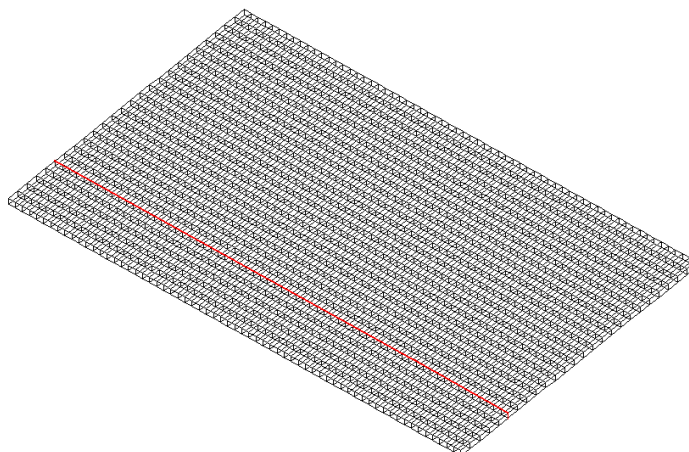
**Bâti:**

$LX = 80\text{mm}$  ,  $LY' = 10\text{mm}$  et  $LZ = 1\text{mm}$

### 10.3 Caractéristiques du maillage

Nombre de nœuds : 3380

Nombre de mailles et types : 1600 HEXA8 pour la plaque et le bâti et  
1778 QUAD4 pour les faces de bords .



### 10.4 Grandeurs testées et résultats

Dans ce test, on valide le contact XFEM pour une fissure coïncidente avec le maillage en 3D .

Identification

Référence

Tolérance (%)

<i>DX</i> au point <i>A</i>	3.06970 E-5	1.0
<i>DX</i> au point <i>B</i>	2.92588 E-5	1.0
<i>DX</i> au point <i>C</i>	2.47360 E-5	1.0
<i>DX</i> au point <i>D</i>	2.15872 E-5	1.0
<i>DX</i> au point <i>E</i>	1.70046 E-5	1.0

## 11 Modélisation H

### 11.1 Caractéristiques de la modélisation

Modélisation : 3D pour tester l'opérande 'XFEM' du mot-clé FORMULATION sous l'opérateur DEFI\_CONTACT pour des éléments HEXA8 .

La géométrie, les conditions aux limites et les chargements sont ceux du problème de référence 3D décrit paragraphe §5 'Problème de référence en 3D' .

### 11.2 Géométrie

La structure est un parallélépipède sain, dans lequel une fissure sera introduite directement dans le fichier de commande à l'aide de l'opérateur DEFI\_FISS\_XFEM [U4.82.08]. La fissure est présente à une distance  $LY = 40\text{mm}$  du bord supérieur de la plaque.

Le fond de fissure est situé en dehors de la structure, ce qui permet une séparation totale. Cette modélisation est telle que la fissure se situe au milieu des éléments.

Les dimensions sont les suivantes :

**Plaque :**

$LX = 80\text{mm}$  ,  $LY = 40\text{mm}$  et  $LZ = 1\text{mm}$

**Bâti:**

$LX = 80\text{mm}$  ,  $LY' = \frac{3}{325}\text{mm}$  et  $LZ = 1\text{mm}$

### 11.3 Caractéristiques du maillage

Pour ce cas, le maillage a été réduit afin de limiter le temps de calcul. En conséquence, les nœuds B et E ne sont plus dans le maillage et les déplacements en ces points ne sont pas calculés.

Nombre de nœuds : 858

Nombre de mailles et types : 384 HEXA8 pour la plaque et le bâti  
472 QUAD4 pour les faces de bords

### 11.4 Grandeurs testées et résultats

Identification	Référence	Tolérance (%)
$DX$ au point $A$	3.06970 E-5	1.0
$DX$ au point $C$	2.47360 E-5	1.0
$DX$ au point $D$	2.15872 E-5	1.0

## 12 Modélisation K

### 12.1 Caractéristiques de la modélisation

Modélisation : D\_PLAN\_XFEM\_CONT pour tester l'opérande 'XFEM' du mot-clé FORMULATION de l'opérateur DEFI\_CONTACT pour des éléments SEG2 .

La structure est un rectangle sain, dans lequel une fissure sera introduite directement dans le fichier de commande à l'aide de l'opérateur DEFI\_FISS\_XFEM [U4.82.08]. La fissure est présente à une distance  $LY = 40\text{mm}$  du bord supérieur de la plaque.

Le fond de fissure est situé en dehors de la structure, ce qui permet une séparation totale. Cette modélisation est telle que la fissure se situe à l'interface des éléments.

La méthode pénalisée est utilisée pour le traitement du contact-frottement.

Les dimensions sont les suivantes :

**Plaque :**

$LX = 80\text{ mm}$  et  $LY = 40\text{ mm}$

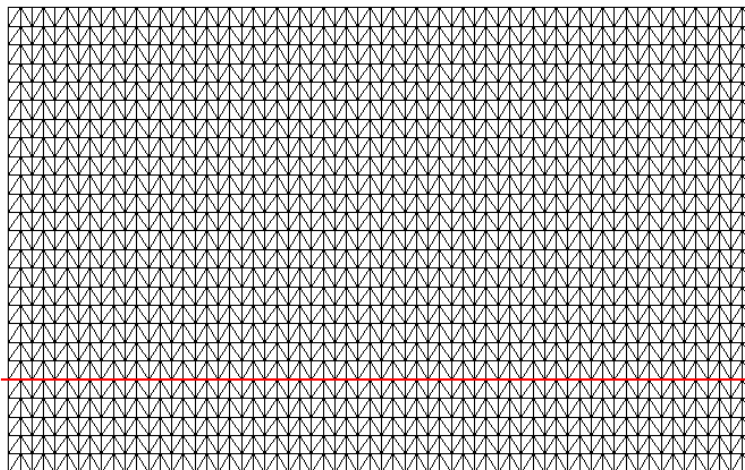
**Bâti:**

$LX = 80\text{ mm}$  et  $LY = 10\text{ mm}$

### 12.2 Caractéristiques du maillage

Nombre de nœuds : 1690

Nombre de mailles et types : 3200 TRIA3 pour la plaque et le bâti et 178 SEG2 pour les bords.



### 12.3 Grandeurs testées et résultats

Identification	Référence	Tolérance (%)
RN au point milieu	1.04864 E+5	10.0
DX au point A	2.84595 E-5	1.0
DX au point B	2.70793 E-5	1.0
DX au point C	2.27403 E-5	1.0
DX au point D	1.97271 E-5	1.0
DX au point E	1.53641 E-5	1.0

## 13 Modélisation L

### 13.1 Caractéristiques de la modélisation

Modélisation : 3D pour tester l'opérande 'XFEM' du mot-clé FORMULATION sous l'opérateur DEFI\_CONTACT pour des éléments HEXA8 .

La géométrie, les conditions aux limites et les chargements sont ceux du problème de référence 3D décrit paragraphe §2 'Problème de référence en 3D' .

La méthode pénalisée est utilisée pour le traitement du contact-frottement.

### 13.2 Géométrie

La structure est un parallélépipède sain, dans lequel une fissure sera introduite directement dans le fichier de commande à l'aide de l'opérateur DEFI\_FISS\_XFEM [U4.82.08]. La fissure est présente à une distance  $LY = 40\text{mm}$  du bord supérieur de la plaque.

Le fond de fissure est situé en dehors de la structure, ce qui permet une séparation totale. Cette modélisation est telle que la fissure se situe au milieu des éléments.

Les dimensions sont les suivantes :

**Plaque :**

$LX = 80\text{mm}$  ,  $LY = 40\text{mm}$  et  $LZ = 1\text{mm}$

**Bâti:**

$LX = 80\text{mm}$  ,  $LY' = \frac{1}{19}LY$  et  $LZ = 1\text{mm}$

### 13.3 Caractéristiques du maillage

Pour ce cas, le maillage a été réduit afin de limiter le temps de calcul. En conséquence, les nœuds *B* et *E* ne sont plus dans le maillage et les déplacements en ces points ne sont pas calculés.

Nombre de nœuds : 858

Nombre de mailles et types : 384 HEXA8 pour la plaque et le bâti  
472 QUAD4 pour les faces de bords

### 13.4 Grandeurs testées et résultats

Identification	Référence	Tolérance (%)
$DX$ au point <i>A</i>	3.06970 E-5	1.0
$DX$ au point <i>C</i>	2.47360 E-5	1.0
$DX$ au point <i>D</i>	2.15872 E-5	1.0



## 14 Modélisation M

### 14.1 Caractéristiques de la modélisation

Modélisation : `D_PLAN_XFEM_CONT` pour tester l'opérateur `'XFEM'` du mot-clé `FORMULATION` sous l'opérateur `DEFI_CONTACT` pour des éléments `SEG3`.

La structure est un rectangle sain, dans lequel une fissure sera introduite directement dans le fichier de commande à l'aide de l'opérateur `DEFI_FISS_XFEM` [U4.82.08]. La fissure est présente à une distance  $LY = 40\text{mm}$  du bord supérieur de la plaque.

Le fond de fissure est situé en dehors de la structure, ce qui permet une séparation totale. Cette modélisation est telle que la fissure se situe à l'interface des éléments.

Les dimensions sont les suivantes :

**Plaque :**

$LX = 80\text{ mm}$  et  $LY = 40\text{ mm}$

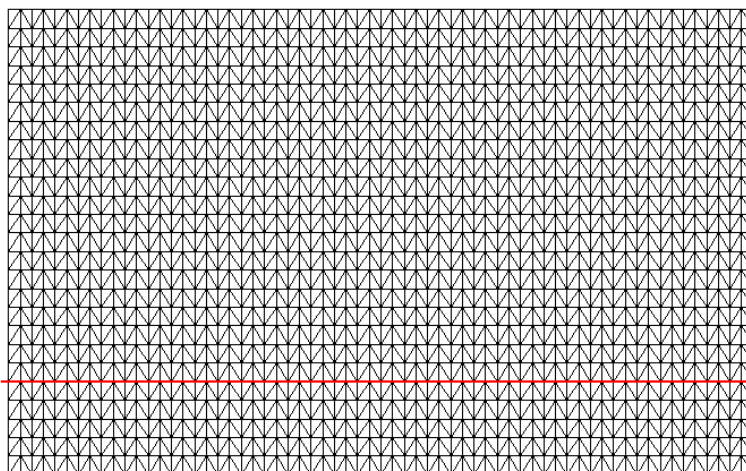
**Bâti:**

$LX = 80\text{ mm}$  et  $LY' = 10\text{ mm}$

### 14.2 Caractéristiques du maillage

Nombre de nœuds : 1690

Nombre de mailles et types : 3200 `TRIA6` pour la plaque et le bâti et 178 `SEG3` pour les bords.



### 14.3 Grandeurs testées et résultats

Identification	Référence	Tolérance (%)
$DX$ au point <i>A</i>	2.8617 E-5	1,0
$DX$ au point <i>B</i>	2.7229 E-5	1,0
$DX$ au point <i>C</i>	2.2855 E-5	1,0
$DX$ au point <i>D</i>	1.9805 E-5	1,0
$DX$ au point <i>E</i>	1.5411 E-5	1,0

Les valeurs de référence sont issues de la modélisation A (FEM).

## 15 Modélisation N

### 15.1 Caractéristiques de la modélisation

Modélisation : D\_PLAN\_XFEM\_CONT pour tester l'opérande 'XFEM' du mot-clé FORMULATION sous l'opérateur DEFI\_CONTACT pour des éléments SEG3. Elle sert aussi à valider le mot clé 'AUTO' pour ALGO\_LAGR dans DEFI\_CONTACT.

La structure est un rectangle sain, dans lequel une fissure sera introduite directement dans le fichier de commande à l'aide de l'opérateur DEFI\_FISS\_XFEM [U4.82.08]. La fissure est présente à une distance  $LY = 40\text{mm}$  du bord supérieur de la plaque.

Le fond de fissure est situé en dehors de la structure, ce qui permet une séparation totale. Cette modélisation est telle que la fissure se situe au milieu des éléments.

Les dimensions sont les suivantes :

**Plaque :**

$$LX = 80\text{ mm} \text{ et } LY = 40\text{mm}$$

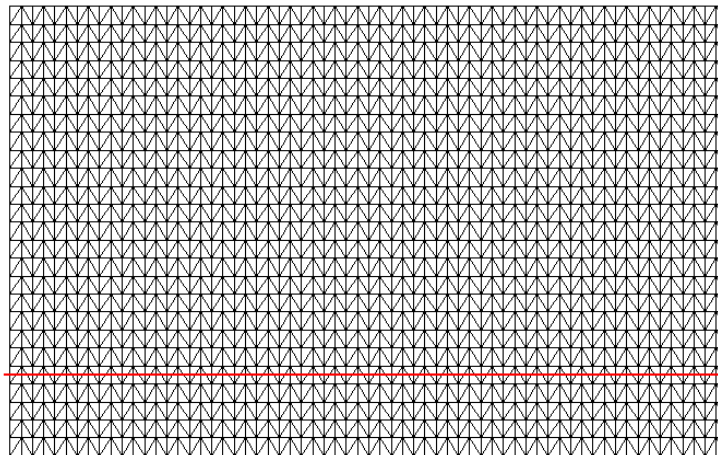
**Bâti:**

$$LX = 80\text{ mm} \text{ et } LY' = \frac{3}{325}\text{mm}$$

### 15.2 Caractéristiques du maillage

Nombre de nœuds : 1625

Nombre de mailles et types : 3072 TRIA6 pour la plaque et le bâti et 176 SEG3 pour les bords.



### 15.3 Grandeurs testées et résultats

Identification	Référence	Tolérance (%)
$DX$ au point <i>A</i>	2.8617 E-5	1,0
$DX$ au point <i>B</i>	2.7229 E-5	1,0
$DX$ au point <i>C</i>	2.2855 E-5	1,0
$DX$ au point <i>D</i>	1.9805 E-5	1,0
$DX$ au point <i>E</i>	1.5411 E-5	1,0

Les valeurs de référence sont issues de la modélisation A (FEM).



## 16 Modélisation R

---

### 16.1 Caractéristiques de la modélisation

Nous reprenons des caractéristiques identiques à la modélisation H, mis à part le maillage qui est quadratique. L'objectif est donc de tester l'opérateur 'XFEM' du mot-clé FORMULATION sous l'opérateur DEFI\_CONTACT, avec frottement (FROTTEMENT='COULOMB') pour une modélisation 3D, mais avec une discrétisation P2P1 (CONTACT='P2P1' renseigné dans MODI\_MODELE\_XFEM), ce qui différencie cette modélisation de la modélisation H.

Pour rappel, la géométrie, les conditions aux limites et les chargements sont ceux définis paragraphe §2.1, correspondant au problème de référence 3D décrit paragraphe §2 'Problème de référence en 3D'.

### 16.2 Caractéristiques du maillage

Le maillage est celui de la modélisation H que l'on a rendu quadratique. Comme pour la modélisation H, les nœuds B et E ne sont plus dans le maillage et les déplacements en ces points ne sont pas calculés.

### 16.3 Grandeurs testées et résultats

On teste les résultats avec les références de la modélisation F. L'erreur est de quelques pour-cents (1% max) compte-tenu de la différence d'interpolation du déplacement, qui est quadratique pour cette modélisation et linéaire pour la référence.

Identification	Référence	Tolérance (%)
$\overline{DX}$ au point <i>A</i>	-2.3713E-05	1.0
$\overline{DX}$ au point <i>C</i>	-1.8445E-05	1.0
$\overline{DX}$ au point <i>D</i>	-1.568E-05	1.0

## 17 Modélisation S

---

### 17.1 Caractéristiques de la modélisation

Nous reprenons des caractéristiques identiques à la modélisation R, mais en traitant le problème en grands glissements. Pour récapituler, l'objectif est donc de tester l'opérande 'XFEM' du mot-clé FORMULATION sous l'opérateur DEFI\_CONTACT, avec frottement (FROTTEMENT='COULOMB') pour une modélisation 3D, avec une discrétisation P2P1 (CONTACT='P2P1' renseigné dans MODI\_MODELE\_XFEM), mais en grands glissements (REAC\_GEOM='CONTROLE' renseigné dans DEFI\_CONTACT) ce qui différencie cette modélisation de la modélisation R.

Pour rappel, la géométrie, les conditions aux limites et les chargements sont ceux définis paragraphe §2.1, correspondant au problème de référence 3D décrit paragraphe §2 'Problème de référence en 3D'.

### 17.2 Caractéristiques du maillage

Le maillage est celui de la modélisation H que l'on a rendu quadratique. Comme pour la modélisation H, les nœuds B et E ne sont plus dans le maillage et les déplacements en ces points ne sont pas calculés.

### 17.3 Grandeurs testées et résultats

On teste les résultats avec les références de la modélisation F. L'erreur est de quelques pour-cents (3% max) compte-tenu de la différence d'interpolation du déplacement, qui est quadratique pour cette modélisation et linéaire pour la référence.

Identification	Référence	Tolérance (%)
<i>DX</i> au point <i>A</i>	-2.3713E-05	2.0
<i>DX</i> au point <i>C</i>	-1.8445E-05	3.0
<i>DX</i> au point <i>D</i>	-1.568E-05	3.0

## 18 Synthèse des résultats

---

Le cas test ssnv209 permet d'observer les trois états des conditions de contact, à savoir le décollement, le contact glissant et le contact adhérent. Il met également en jeu des modélisations 2D et 3D avec des éléments de différentes natures (quadrangles, triangles, parallélépipèdes) dans le cadre de X-FEM.

Ce cas test permet de mettre en évidence des résultats satisfaisants pour des modélisations 2D et 3D, en particulier la satisfaction de la condition LBB pour la modélisation du contact-frottant avec X-FEM.

Les objectifs de ce test sont atteints :

- 1) avec une erreur relative par rapport à la solution de référence de moins de 1% pour les déplacements,
- 2) que la fissure soit au milieu d'un élément ou à l'interface,
- 3) que la modélisation soit en 2D ou en 3D,
- 4) que la formulation place les inconnues de contact aux arêtes des éléments ou aux nœuds,
- 5) avec plusieurs schéma d'intégration pour les termes de contact (NOEUD, SIMPSON, NCOTES),
- 6) en utilisant les coefficients (frottement et pression) de la formulation généralisée (COEF\_REGU\_CONT, COEF\_STAB\_CONT, COEF\_REGU\_FROT, COEF\_STAB\_FROT),
- 7) en utilisant les méthodes de lagrangien augmenté et de pénalisation pour le traitement du contact-frottement.